

MgCO₃

IP

Mg Cd₃

[BP-2080-IX]

1888

Engel M.,

Ann. Chim. Phys., 1888,
13, 344-364

4



BaCO_3)

IX-3191

1900

CaCO_3 (P-P, H_2O) K_p)
 MgCO_3

Bodländer G.,

Z. phys. Chem., 1900, 35, 23



B.

MgCl₃

exp-1905

1905

Brill O.;

KP (Pass)

Z. anorg. Chem., 1905, 45,
245-92

181238

1908

BaCO₃, MgCO₃; CaCO₃; ap. (Poliss)
Mg(OH)₂; ap (ΔH_f); Ba(OH)₂; ap, (sH_{sol},

Johnston J.,

Z. phys. Chem., 1908, 65, 237-43



CL, B, 5

circ 500

1912

IX 2242

MgO₃; kp, (Poles)

Kempel, Schubert,

Z. Elektrochens, 1912, 18, 429

5

Circ 500

R 2198

1913

Grünberg K. I.

1. Z. anorg. Chem., 80, 337-(1913)

-gl

MgCO₃; κ_P; (Pdiss.)

Circ. 500



6

MgCO₃ Ⓛ. 500

IX 1408

1913

MgCO₃; CaCO₃.MgCO₃; cp, (Hf, Pdiss,

Marc R., Simsek A.

Z. anorg. Chem.; 1913, 82, 17

cl, 5

circ 500

IX-1237

1915

MgCO₃ (p-p, H₂O) (K_p)

Johnston J.,

J Amer. Chem. Soc., 1915, 37, 2001



10, B

MgCO₃

BP - 2238-IX

1916

Hedvall A.J.

(K₂P, P₂O₅ etc.)

Z. anorg. Chem.
1916, 98, 47-69.

CaCO_3

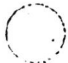
IX - 3287

1917

MgCO_3 $(P-P, \text{H}_2\text{O})$ (K_P)

Seyler C. A., and Lloyd P. V.,

J. Chem. Soc., 1917, III, 994



B

IX - 3267

1983

elgCO₃ (P-P, H₂O) (K_P)

Mitchell A.E.,

J. Chem. Soc., 1923, 123, 1887



B

IX 1404

1924

Monchot W. and Lorenz

Z. anorg. Chem., 134, 297 -

(1924)

114.
-3/6

MgCO₃; kp.; (Pdiss)

Circ. 500



5

10

10. 12.

X 1948

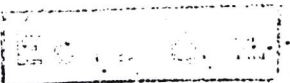
1925

MgCO₃; RP; (Poldis)

Centnerseewer M., Breezes B.

Z. Phys. Chem., 1925, 115, 365-
-376

5



Circ. 500.

$Mg(OH)_2$

IX - 3953

1929

$MgCO_3$ (P-P, H₂O) (K_P)

Kline W. D.

J. Amer. Chem. Soc., 1929, 51, 2093

B

1934

V-1014

MgCO₃, MnCO₃ "p. (Cp, S₂₉₈)

Anderson C.T.

J. Amer. Chem. Soc., 1934, 56, 849

Б

ееро о.к.

$\text{MgCa}(\text{CO}_3)_2$ ($P-P$) } IX-3237 1935

MgCO_3 ($P-P, \text{H}_2\text{O}$) } K_P
 CaCO_3 _____ }

Halla F., ~~and~~ Ritter F.

Z. phys. Chem., 1935, A, 175, 63, 39.

O

B

V-1018

1941

MgCO₃, CaCO₃, SrCO₃, BaCO₃,
MnCO₃, ZnCO₃, CdCO₃ u. gg.

(s Hf)

Roth W. A.,

J. prakt. Chem., 1941, 158, 117

U, B

erroneous

ВФ-IX 1992

1949
 $\text{MgCO}_3 \text{ (K)}$

Gremer E.

Z. anorg. Chem., 1949, 258, 123-131

и

C.A., 1950, 44, 3825c

БОТЫ. ф. К.

IX 1994

1949

MgCO₃ (R, S°, H_T-H_O)

Cremser E., Gatt. F.

Radex Rundschau, 1949, 4,

1444-1449

cl, 5

est, 1950, 44, 333901

1949
CaCO₃, MgCO₃, FeCO₃ (K)

VI-1467

Schwob Y.

Rev. materiaux construction trav. publ.,
1949, EdC N411, 409-20.

The simple and complex rhaubohedral
carbonates of calcium, magnesium, and iron.
Their thermal dissociation.

Est **Есть** 8. K.

M,

CA., 1950, 44, 3339f

V 1024 ~ B9

1950

ZnCO_3 , $\text{Zn}(\text{NO}_3)_2 \cdot 6\text{H}_2\text{O}$, CdCO_3 , $\text{Cd}(\text{NO}_3)_2 \cdot 4\text{H}_2\text{O}$

MgCO_3 , $\text{Mg}(\text{NO}_3)_2 \cdot 6\text{H}_2\text{O}$ (Tm)

Шаргородский С.Д., Шор В.И.
Укр.хим.ж., 1950, I6, № 4, 426-33

Термическое разложение нитратов и
карбонатов магния цинка и кадмия

ЕСТЬ Ф. №

Be

Bp-IX 1797

1953

MgCO₃ · 3H₂O; 5MgO · 4CO₂ · nH₂O

(Tte)
atada T.,

J. Scient Res Inst., 1953, 47,
Dec. 244-253

140:5

P. X., 1955, v10, 18531

IX 1993

1953

MgO, MgCO₃ (Δ Hf).

Cremers E., Allgemeine K.,

Radex Rundschau, 1953, N2, 54-57.

et

P.X., 1956, N16, 50165

БР-19-1L 1954

Капустинский А.Ф., Гаханова И.С.

MgCO₃

Изв. АН СССР (хим), 1954, № 4, 587 - 97

MgO, SrCO₃, BaCO₃

Термодинамика и строение агломер.

Темп. образов.

7. Исследование карбонатов земельных

Темп. диссоц.

Второй (основной) членное сочт. Менделеева

свободн. энерг.

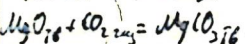
~~Темп.~~ р-римск. $L_P(MgCO_3) = 1,76 \cdot 10^{-5} (25^\circ)$

~~Темп.~~ р-римск.

Темп. образов $Mg_{76} + C_{24\%} + 3/2 O_2 \xrightarrow{25^\circ} MgCO_{376}$

$$-\Delta H_{298}^{\circ} = 260,4$$

Темп. диссоц.



$$q = 23,5$$

Гидр. своб. энерг.

$$-\Delta F_{298}^{\circ} = 11,0$$

Гильбум Р.М.

1955

Mg-содио. Баранова Р.И.

MgO,
MgCO₃

Пр. Всеи. ин-та союзоте
хноз-стии, 1955, 8, 103-108.

С технико-экономической
характеристике рабо-
тамов и отходов разработки
и маркетинга.

ХС-51-3-2-44

Сулейманов А.С.

1953

MgCO₃

Нр. 1-го совета по метаморфизам. Розань, 1953. М.-Н.
log-60 №I ССР, 1955, 200-204.

Прибрежная зона метаморфического
и эпигенетика у карбонат-
ных морей.

х-56-23-44348.

IX-1468

1957

CaCO_3 , MgCO_3 (T_{tr})

Mondange H.

C. r. Acad. sci., 1957, 244, 1648-1651



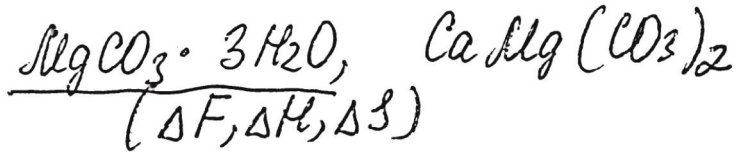
~~T_{tr}~~. 5

PAPEK, 1958, N.Y. 10388

err6 Q.K

BOP IX - 2215

1959



Halla F.,

Z. Phys. Chem. (BRD); 1959, 21,
N56, 349-357.

VII 3992

1960

ΔF_f (CaCO_3 , CaCO_3 , MgCO_3 , ZnAl_2O_4 ,
 MnCO_3 , BaCO_3 , $\text{Al}_2\text{O}_5 \cdot \text{SO}_3 \cdot 9\text{H}_2\text{O}$, SrCO_3)

Garrels R.M., Thompson M.E.,
Siever R.

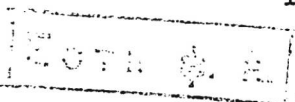
Amer.J.Sci., 1960, 258, N° 6, 402-418

Stability of some carbonates at
25°C and one atmosphere total pressure

Foto

WPK, W

PX., 1961, 116417



IX-3978

1960.

HgCO_3 (p-p, H₂O) (K_p)

Raaflaub y.,

Helv. Clin. Acta, 1960, 43, 629



B

IX-3173

1961

elgCd3 (p-p, H₂O) /K_p)

Якабеева О.К. ~~и др.~~ Рассохская И.С.,

Ил. № 9. Годчук, 1961, 6, 1424



B

ВСР-2216-IX

1962

MgCO₃

18

10 Б405. Энталпия гидратации карбоната магния.
Halla Franz. Freie Enthalpie der Hydratation des
Magnesiumcarbonats. «Z. phys. Chem.» (BRD), 1962, 32,
№ 3-4, 267—268 (нем.)

Из литературных данных по растворимости MgCO₃
тв. и MgCO₃·3H₂O (тв.) рассчитано ΔZ р-ции: MgCO₃
(тв.) + 3H₂O = MgCO₃·3H₂O (тв.) (1), равное 3500 ±
± 300 кал. Расчет производился по ур-нию: ΔZ =
= RT ln(L_N/L_M) a_{H₂O}, где L_N и L_M — растворимости
MgCO₃·3H₂O (тв.) и MgCO₃ (тв.) соответственно. С ис-
пользованием данных Латимера (Latimer W. M. Oxyda-
tion potentials. New York, 1952) для ΔS° р-ции (1) рас-
считано ΔH°, равное — 7,2 ккал.

Н. Привалова

32

X-1963-10

$\text{MgCO}_3 \cdot 3\text{H}_2\text{O}$ B9-18-2218; 18-2216 1962

Free energy of hydration of magnesium carbonate.
Franz Halla (Soc. Etudes Rech. Applications Ind., Brussels,
Belg.). *Z. Physik. Chem.* (Frankfurt) 32, 267-8(1962);
cf. *CA* 54, 23692e. The value of the free energy of hydra-
tion of MgCO_3 , ΔG_2 , to $\text{MgCO}_3 \cdot 3\text{H}_2\text{O}$ given earlier was
recalcd. with greater certainty as 3500 ± 300 cal.

Friedrich Epstein

DHF

C.A. 1962-57-9
10593c

IX 2221

1962

MgCO₃ · 3H₂O, MgCO₃ · 5H₂O,

(AS, SH, SA);

MgCO₃ (s Haq)

Halla F.

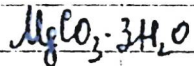
Monatsh. Chem., 1962, 93, N^o 4,
848-51

M, B

P. X., 1964, 56366

erroneous

1962



Dissociation of magnesium carbonate hydrates. Z. A. Konstant and A. Vaivads. *Latvijas PSR Zinarnu Akad. Vestis, Kim.* Ser. 1962, 2, 171-81. Mg carbonates obtained by MgO carbonization or by pptn. from MgCl_2 solns. with Na_2CO_3 were exmnd. by thermovolumetric, x-ray, petrographic, and chem. analyses. By heating $\text{MgCO}_3 \cdot 3\text{H}_2\text{O}$ at $180\text{--}210^\circ$, 2 particles of water are liberated, and a 3rd particle at $380\text{--}560^\circ$. At 560° a further rather rapid decompn. takes place followed by CO_2 evolution. At 510° the exothermic effect is assoed. with MgCO_3 and MgO recrystn. In the case of $\text{MgCO}_3 \cdot \text{H}_2\text{O}$, water is liberated at 240° and CO_2 at 450° .

J. Jarzebowska

C. A. 1963-58. 9
8622a

1962

нед сб

1Б491. Система $MgO - CO_2 - H_2O$ при высоких давлениях и температурах. Walter L. S., Wyllie P. J., Tittle O. F. The system $MgO - CO_2 - H_2O$ at high pressures and temperatures. «J. Petrology», 1962, 3, № 1, 49—64 (англ.)

Методом закалки с использованием золотых и платиновых запаянных ампул изучена система $MgO - CO_2 - H_2O$ при т-рах до 1400° и давлениях до 4000 б. При 1000 б магнезит (I) и брусит (II) полностью диссоциируют при т-рах соответственно 780 и 635° . Смесь I и II разлагается при более низких т-рах, чем чистые компоненты. При давл. 1000 б ионвариантная р-ция $MgCO_3 + Mg(OH)_2 \rightleftharpoons MgO +$ газ идет при т-ре 630° . При 4000 б т-ра, отвечающая этому четырехфазному ионвариантному равновесию, 700° . Жидкой фазы в системе не было обнаружено. Исследования состава паровой фазы показали, что при 1000 б и т-ре до 1000° в ней растворяется < 1,5 вес.% MgO . В присутствии газовой фазы, содержащей заметные кол-ва CO_2 , I неустойчив. Максим. допустимое содержание CO_2 в парах, с которыми может сосуществовать I, увеличивается с уменьшением давления и повышением т-ры.

смм м/об.

9.1963. 1.

При 1000 б и 630° максим. конц-ия CO_2 ~6 вес.%; при 40 000 б и 700° ~4 вес.%. С помощью изобарич. фазовой диаграммы (призма T — X при 1000 б) охарактеризованы 2 р-ции диссоциации (декарбонизация и дегидратация), протекающие в присутствии газовой фазы, содержащей 2 летучих компонента: H_2O и CO_2 . На основе полученных результатов обсуждаются вопросы метаморфизма в природе.

И. Магидсон

ин.
тодо
а

1963

MgCO₃ · 3H₂O

ХI Б398. Дегидратация тригидрата карбоната магния.
Констант З. А., Вайвад А. Я. «LatvPSR Zinātņu Akad. vēstis, Kim. sēg.», Изв. АН ЛатвССР, Сер. хим.», 1963, № 1, 3—8 (рез. англ.)

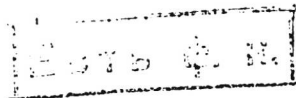
Синтезированный MgCO₃·3H₂O (I) изучался при помощи термогравиметрич., рентгенографич. и хим. методов анализа. В пределах т-р 15—60° стабильным является I. При т-ре 100—120° стабильной является кристаллич. структура MgCO₃·H₂O. При т-рах ~80° I постепенно переходит в моногидрат. Из резюме авторов

Х·1964·1

Ca CO_3 , $\underline{\text{Mg CO}_3}$ (Tr) IX 3667/1963

Simmons G., Bell P.,
Science, 1963, 139, n3560,

1197-1198



T

$MgCO_3$ (sol.)

YANAF

1965

T. & t.

298 - 900°K

MgCO₃ · 3H₂O; MgCO₃ · 3D₂O IX 314 1965
(T_{tr}, J_i)

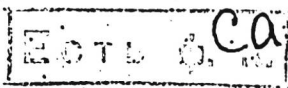
Констант З. Г., Раубаге А. Л.
Узб. Академия ССР, Сер. хим.,
1965 (1), 5-10

Міністр аграрної промисловості Спецір.

MgCO₃ · 3H₂O

5

cp



СА 1966

~~MgO + CO₂ + H₂O~~

MgCO₃

1965

Langmuir & D.

J. Geol., 73 (5), 730-54.

Stability of carbonates in
the system MgO - CO₂ - H₂O.

IX288

MgCO₃ (OH_f)

1965

Вайвад А.Я., Вишневская В.А.

Изв. АН Латв. ССР, Сер. хим., 1965, № 6,

643-50

Зависимость активности окиси магния
от исходного сырья

РХ, 1966, 22Б762

М

Ф

1966

MgCO₃

3 Б884. Растворимость карбонатов щелочно-земельных металлов. III. Магнезит, MgCO₃, Halla F., Tasse R. Van. Auflösungsercheinungen bei Erdalkalikarbonaten III. (Megnesit MgCO₃). «Radex—Rundschau», 1966, № 6, 356—362 (нем.; рез. англ., франц.)

При т-ре 21,5° методом приближения к состоянию равновесия с двух сторон заново определена р-римость MgCO₃ (кристаллич. синтетич. и природного) в водн. р-ре, содержащем CO₂ ($P_{CO_2} = 1 \text{ atm}$), равная $37,4 \pm 0,8 \text{ ммол/л}$. Рассчитаны термодинамич. произведение р-римости MgCO₃, $L_m (1,25 + 0,08) \cdot 10^{-7}$ и ΔZ процесса образования MgCO₃ из его ионных компонент Mg⁺² и CO₃²⁻ ($-9,325 \pm 0,055 \text{ ккал}$). Величина L_m , рассчитанная из данных по pH насыщ. р-ра (6,68), оказалась равной $1,11 \cdot 10^{-7}$. Из сопоставления обеих величин L_m заключено о практическом отсутствии катионных комплексов в р-ре бикарбоната магния. Сообщение II см. РЖХим, 1967, 16Б1007.

Э. В. Ренард

Б99-117-119

х. 1968 · 3

NaCl , Na_2SO_4 , Na_2CO_3 , KCl , K_2SO_4 , 3, 10, 1966

K_2CO_3 , MgCl_2 , MgSO_4 , MgCO_3 , CaCl_2 , IX 353

CaSO_4 , CaCO_3 (cp) (безоп)

Корзунов В.В.

[Tp] Врек. К.У. 1966 газурын, 1966, бин 49, 66-78

Делюстикосмий союз в соревнованиях по борьбе
с участием Na^+ , K^+ , Mg^{2+} , Ca^{2+} - Cl^- , SO_4^{2-} , CO_3^{2-} .

PHI X-100, 1968
76671

Лето 1968 5 (Ф)

15

$MgCO_3$

ВФ - 267 - IX

1967

T_m ,

ΔH_m

№ 3 Б606. Равновесие между расплавом углекислых солей (Li, Na, K, Mg), CO_2 и MgO . Velden P. F., van Equilibrium between (Li, Na, K, Mg) (carbonate melt, gaseous CO_2 and MgO . «Trans. Faraday Soc.», 1967, 63, № 1, 175—184 (англ.)

Показано, что между расплавом углекислых солей щелочных металлов, MgO и CO_2 существует термодинам-

$$T_m = \sim 990^\circ C$$

$$\Delta H_m = \sim 14 \text{ ккал/моль}$$

Х. 1968 · 3

мич. равновесие, подчиняющееся модели солевого расплава Форленда. В контакте расплава солей (Li, Na, K, Mg) с MgO и CO_2 образуется значительное кол-во MgCO_3 . Изменение давл. CO_2 над расплавом, т-ры, мольного отношения Li/Na/K приводит к изменению соотношения между MgCO_3 и MgO . На основании аномального хода зависимости выпадения тв. фазы из чистого расплава при 550° автор считает необходимым пересмотреть вывод об инертности MgO по отношению к расплаву углекислых солей щелочн. металлов. Получены величины т. пл. (990°) и теплоты пл. (14 ккал/моль) для MgCO_3 при давл. CO_2 1 атм. Обсуждаются эксперим. и литературные данные по фазовой диаграмме четверной системы $\text{Li}_2\text{CO}_3 + \text{Na}_2\text{CO}_3 + \text{K}_2\text{CO}_3 + \text{MgCO}_3$.

О. Ижванов

~~MgCO₃~~
~~CaCO₃~~

BP - 267 - IX

1987

59483a Equilibrium between (Li, Na, K, Mg) carbonate melt, gaseous CO₂, and MgO. Dr. P. F. van Velden (Centraal Lab. T.N.O., Delf, Neth.). *Trans. Faraday Soc.* 63(1), 175-84 (1967)(Eng). Considerable amts. of MgCO₃ can appear in alkali metal carbonate melts in contact with MgO and CO₂ gas. The equil. between dissolved MgCO₃, MgO, and CO₂ gas has been studied. The results satisfactorily obey thermodynamic theory based upon a melt model used by Foerland (*CA* 56, 15000a) for the similar system with CaCO₃ and CaO. Values of the m.p. (~900°) and for the heat of melting (~14 kcal./mole) of MgCO₃ (at 1 atm. CO₂ pressure) were derived. Anomalous results obtained below about 550° when heating clear (Li, Na, K, Mg) carbonate melts (under CO₂) are attributed to the appearance of an "active" form of MgO. Some data on the quaternary system Li₂CO₃ + Na₂CO₃ + K₂CO₃ + MgCO₃ were obtained. MgO is not "inert" against molten alkali metal carbonates under appropriate conditions. 37 references. RCTD



C.A. 1987-66-14

8

MgCO₃ (c)

1887

YANKEE Thermoclinical
Tables, II. gen., 1904

17 Б1100. Кинетика термического разложения магнезита.—Kubas Zdzisław, Szałkowicz Małgorzata. Kinetyka reakcji rozkładu węglanu magnezo-wego. «Zesz. nauk. Akad. górn.-hutn.», 1967, № 171; 47—62 (польск.; рез. англ.).

MgCO₃

Термогравиметрическим методом в атмосфере воздуха и CO₂ исследована кинетика термич. разложения (TP) природного магнезита (MgCO₃) в изотермич. условиях и при линейном увеличении температуры (скорость нагрева 6 град/мин). Показано, что т-ра, при которой начинается и заканчивается TP, соотв. равна 450 и 680° в атмосфере воздуха и 550 и 700° в атмосфере CO₂. Установлено, что скорость TP выше в атмосфере CO₂, чем в воздухе, и что процесс TP является р-цией 1-го порядка. Рассчитаны значения константы скорости р-ции (*k*) для некоторых т-р в изотермич. условиях. Из температурной зависимости *k* вычислены значения энергии активации (*E*) TP. Показано, что значение *E* выше в атмосфере CO₂ (*E*=55,636 ккал/моль), чем в атмосфере воздуха (*E*=33,382 ккал/моль).

Э. А. Межков

X. 1988 - 17

1968

Mg CO₃

20 Б879. Экспериментальное определение равновесий в системе MgO—CO₂—H₂O. Johannes W., Metz P. Experimenterliche Bestimmungen von Gleichgewichtsbeziehungen im System MgO—CO₂—H₂O. «Neues Jahrb. Mineral. Monatsh.», 1968, № 1-2, 15—26 (нем., рез. англ.)

Изложены результаты эксперим. исследования р-ций $MgCO_3 \rightleftharpoons MgO +$ жидк. фаза и $Mg(OH)_2 + CO_2 \rightleftharpoons MgCO_3 + H_2O$ (при давл. газ. фазы 500—2000 бар), к-рые дают хорошую сходимость с расчетными данными и результатами других авторов.

И. А. Зотов

Кр

г : 1968 . 20

MgCO₃

Равновесий
расчет

IX-190-39 1968

24 Б479. Термодинамические расчеты равновесий в системе MgO—CO₂—H₂O. Metz P., Graef M., Johannes W. Thermodynamische Berechnung von Gleichgewichtsbeziehungen im System MgO—CO₂—H₂O. «Neues Jahrb. Mineral. Monatsh.», 1968, № 1—2, 1—15 (нем.; рез. англ.)

Расчет моновариантных равновесий $MgCO_3 \rightleftharpoons MgO + CO_2(1)$ и $Mg(OH)_2 \rightleftharpoons MgO + H_2O$ (2) хорошо согласуется с экспериментом. Расчет бивариантного равновесия в системе $MgCO_3 + H_2O = Mg(OH)_2 + CO_2$ при низких и средних содержаниях CO₂ во флюидной фазе приводит к значениям равновесной т-ры, соответственно для р-ций (1) и (2), на 50° и 30° ниже, чем определенная экспериментально. При $P_{общ} = 1000$ бар и разных т-рах рассчитанное значение отношений CO₂:H₂O меньше экспериментального.

И. А. Зотов

Kр

(CO₂ + H₂O)

X · 1968 ·

24

MgCO₃
cltgO
Mg(OH)₂
MgCO₃
Kp

Pacoreira
pacnwt.

C.A. 1968

B9 - 190 - IX

1968

63149e Thermodynamic calculation of equilibrium relations in the system magnesium oxide-carbon dioxide-water. — P. Metz, M. Graef, and W. Johannes (Univ. Goettingen, Ger.). *Neues Jahrb. Mineral., Monatsh.* 1968(1-2), 1-15(Ger). In the system MgO-CO₂-H₂O, the following equil. reactions occur: (1) MgCO₃ ⇌ MgO + CO₂; (2) Mg(OH)₂ ⇌ MgO + H₂O; (3) MgCO₃ + H₂O ⇌ Mg(OH)₂ + CO₂. The equil. data for these reactions were calcd. thermodynamically and compared with the presently available exptl. data. Reactions (1) and (2) represent an univariant equil. in the subsystem MgO-CO₂ and MgO-H₂O, resp. The thermodynamically calcd. equil. data of these 2 reactions agree well with the exptl. detd. values. In the system MgO-CO₂-H₂O, however, the equil. of these 2 reactions are bivariant. The decompr. temp. of magnesite and brucite now

68



depends on the $\text{CO}_2\text{-H}_2\text{O}$ ratio in the fluid phase at const. total pressure. At medium and low CO_2 contents in the fluid phase, the calcd. equil. temps. for reaction (1) are considerably lower than those values detd. exptl. (50° at max.). Likewise, the calcd. decomprn. temps. of brucite fall $\sim 30^\circ$ lower than the exptl. data. Reaction (3) is also bivariant; at a given total pressure, each reaction temp. det. a specific equil. compn. of the $\text{CO}_2\text{-H}_2\text{O}$ -gas phase. For a total pressure of 1000 bars and various temps., exptl. values for the $\text{CO}_2\text{-H}_2\text{O}$ equil. ratio are smaller than the calcd. data and lie beyond the limits of error of calcn. RCFZ

Cold, - $MgCO_3$ (T_{t2}) 1969

Goldsmiti J.R., Newton R.C.,

Amer. J. Sci., 1969, 267 A, 180-190.

T

1969

MgCO₃MgCO₃

Kp; 49f

+3

3 Б833. Константы растворимости и свободные энергии образования магнезита, бруцита и доломита. К вопросу об определении термодинамических констант. Ногн G. Löslichkeitskonstanten und Freie Bildungsenthalpien von Magnesit, Brucit und Dolomit, ein Beitrag zur Bestimmung thermodynamischer Konstanten. «Rader-Rundschau», 1969, № 1, 439—459 (нем.; рез. англ., франц.)

Определены различные константы растворимости магнезита, бруцита и доломита при высокой постоянной ионной силе р-ра и свободные энергии образования магнезита $\Delta G(298, \text{MgCO}_3) = -246,3 \pm 0,1$ ккал/моль и доломита $\Delta G[298, \text{CaMg}(\text{CO}_3)_2] = -518,37 \pm 0,10$ ккал/моль из элементов. Полученные результаты использованы для

21

x. 1940. 3

расчета и построения диаграмм $Mg^{2+}-H_2O-CO_2$ и $Ca^{2+}-Mg^{2+}-CO_2-H_2O$. Определен нормальный потенциал электрода $Mg|Mg^+$, равный 2349 ± 2 мв (25°) и рассчитаны константы комплексообразования $MgOH^+$ и $MgHCO_3^+$. Показана возможность расчета термодинамич. констант из стехиометрич. посредством круговых процессов.

А. Гузей

Брускет $MgO \cdot H_2O$.

CaCO_3 , MnCO_3 , CoCO_3 , CdCO_3 , 9₆ 1970
 ZnCO_3 , MgCO_3 , $\text{FeCO}_3(\text{OH}, \text{H}_2\text{O})$, ~~Kp~~ Kp

VII 5251

Чекрников А.Ю., Чептухов В.Н.
~~Л.С.Чекрников~~

В сб. Чеснок. процессов кристаллиз. в
гидротермальн. условиях. Н. Ученка, 1970,
103-112.

Изучение первых выделяющихся
тройниковых карбонатов

РГНХМ, 1970

235700

○

М(р) 14

$MgCO_3 \cdot 3H_2O$

$MgCO_3$

BФ - 3368-IX

1970

✓ 20 B26. Изучение карбонатов магния. Halla F.
Zur Kenntnis der Mg-Carbonate. «Z. phys. Chem.»
(BRD), 1970, 73, № 4—6, 268—276 (нем.)

Изучена р-римость (R) карбонатов и гидрокарбонатов Mg в воде, р-рах CO_2 . Для гидромагнезита (I) $R^{21^\circ} = 0,249$ моль/л, для ($MgCO_3 \cdot 3H_2O$) (II) $R^{25^\circ} = 0,2135$ моль/л, для магнезита ($MgCO_3$) (III) $R^{21^\circ} = 0,0374$ моль/л. Вычислены свободные энталпии р-ре-
ния I, III и $Mg(OH)_2$ в р-ре CO_2 и свободные энталпии
образования I и II, равные $-1411,4 \pm 1,9$ и $-404,4$ ккал.
Определена эквивалентная электропроводность
 $Mg(HCO_3)_2$ при 20° , равная 88,5. I кристаллизуется в
монокл. сингонии с параметрами решетки a 18,58, b 9,06,

Л. Г. Й.

Δ Гао



+1

X. 1971.20



c 8,42 Å, *Z*=4. II кристаллизуется в ромб. сингонии с параметрами решетки *a* 7,68, *b* 11,93, *c* 5,39 Å, *Z*=4. По данным ИК-спектров, в I и II присутствуют водородные мостики. Предположено, что I имеет состав $5\text{MgO} \cdot 4\text{CO}_2 \cdot 5\text{H}_2\text{O}$, а II является основным карбонатом, $\text{Mg}(\text{OH}) \cdot (\text{HCO}_3) \cdot 2\text{H}_2\text{O}$.

Л. П. Маслов

MgCO₃
(Crystal)

100-1000°K

(1966)

YANAF
II wgg

1971

$MgCO_3$

Nakayama F.S. 1941

BOP - 3379

Kp.

δG_f

" J. Chem. and Eng. Data,

1981, 16, N_o, 178-181

(Cu. $MgHCO_3^+$)[±]

MgCO₃ · 3K₂O; ugp... (Olf,
OGf,
OSf) — IX-4135 1972

M, B (5)

Hemingway B.S.

Diss. Mestr. Yut., 1972, B32, N.II,

6475 (act.) 6

Calorimetric determination of the
stability, enthalpy, heat, and Gibbs
energy of formation for the carbonate
minerals huntite, mesolite, howlite,
aragonite, and weddellite. 106185 u
CH, 1972, ZF, N-16, 106185 u

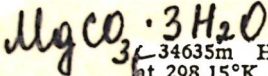
$\text{CaCO}_3(\text{CO}_3)_2$ | $(\text{Cp}, \text{H}_T - \text{H}_{298})$ | 1972
 MgCO_3 | I-X 4235

Manga I.A., Tagzarev B.C., Зюзоровский
уровни

Жилы. массонерекос, горн. басс. Собин.

1972, I-X 418-23

Экспедиция по изучению
этих горных и геохимических
образований в горах
СД 1973, I-X 414, 833'03



1972

34635m Heat capacities at low temperatures and entropies at 298.15°K of nesquehonite, $\text{MgCO}_3 \cdot 3\text{H}_2\text{O}$, and hydromagnesite. Robie, Richard A.; Hemingway, Bruce S. (U.S. Geol. Surv., Silver Spring, Md.). *Amer. Mineral.* 1972, 57(11-12), 1768-81 (Eng). The heat capacity of hydromagnesite, from Hindubagh, West Pakistan, and synthetic nesquehonite, $\text{MgCO}_3 \cdot 3\text{H}_2\text{O}$, were measured at 18-344°K. The thermodyn. properties at 298.15°K heat capacity, C_p^o , enthalpy function ($H^o_{298.15} - H^o_0$)/ T , free energy function ($G^o_{298.15} - H^o_0$)/ T , and entropy ($S^o_{298.15} - S^o_0$) for hydromagnesite, $5\text{MgO} \cdot 4\text{CO}_2 \cdot 5\text{H}_2\text{O}$, are 125.86 ± 0.37 , 67.35 ± 0.20 , -53.03 ± 0.16 , and 120.38 ± 0.37 cal/mole degree, and for nesquehonite, $\text{MgCO}_3 \cdot 3\text{H}_2\text{O}$, are 56.81 ± 0.17 , 26.11 ± 0.08 , -20.65 ± 0.06 , and 46.76 ± 0.14 cal/mole degree. The heat capacity of nesquehonite exhibits a λ -type transition between 280 and 320°K. Between 295 and 310°K the heat capacity increases very rapidly from 55 to 64.7 cal/mole degree and then drops precipitously to 57 cal/mole degree with a max. at 306.5°K. The entropy change assocd. with this transition is about 0.6 cal/mole degree.

$C_p \propto T_{t_2}$

$\frac{H_{298} - H_0}{T}$

hyp.

C.A. 1973, 78, N6.

IX MgCO₃ IX 436.2

1973.

abc.

Oh Ki Dong, Morikawa H., Iwai Shin-ichi,
Aoki H.

Amer. Miner., 1973, 58, n^o 3-4, 339-340.

Hydrothermal growth of magnesite
single crystals.

Есть оригинал.

Не

PX, 1973, 196416.

1973

MgCO₃

15 Б500. Кристаллическая структура магнезита. Oh Ki Dong, Morikawa Hideki, Iwai Shin'ichi, Aoki Hideki. The crystal structure of magnesite. «Amer. Miner.», 1973, 58, № 11—12, 1029—1033 (англ.)

Кристаллическая структура
магнезита. Проведено ИК- и рентгенографич. (методы порошка и дифрактометра, λ Mo, 234 отражения, МНК, анизотропное приближение, $R=0,037$) исследование кристаллов минерала магнезита $MgCO_3$ (I). Параметры тригональной решетки: a 4,637, c 15,023 Å, $Z=6$, ф. гр. $R\bar{3}c$. Структура I, также как и структура кальцита $CaCO_3$ (II) построена из октаэдров MgO_6 ($Mg-O$ 2,105 Å) и треугольников CO_3 ($C-O$ 1,283 Å), однако октаэдры в I искажены в гораздо меньшей степени, чем в II. Этот факт объясняется большим соответствием размеров иона Mg^{2+} , чем Ca^{2+} , октаэдрич. пустотам. Подробный анализ ИК-спектров показал их полное соответствие с характером анизотропии тепловых колебания и иска-

Х 1974/15

жением координац. многогранников. Учёт величины потенциальной энергии показал, что движение атомов О в направлении оси a более ограничено, чем в перпендикулярных оси a направлениях, чем объясняется существенная сплющенност эллипсоида тепловых колебаний атомов О групп CO₃ вдоль оси a . С. В. Соболева

и М.
Погр.

$MgCO_3 \cdot 3H_2O$; $5MgO \cdot 4CO_2 \cdot 5H_2O$

1973

7 Б774. Энталпии образования мескуэхонита
 $MgCO_3 \cdot 3H_2O$ и гидромагнезита $5MgO \cdot 4CO_2 \cdot 5H_2O$. Robt.
e Richard A., Hemingway Bruce S. The enthalpies of formation of nesquehonite, $MgCO_3 \cdot 3H_2O$,
and hydromagnesite, $5MgO \cdot 4CO_2 \cdot 5H_2O$. «J. Res. U. S.
Geol. Surv.», 1973, 1, № 5, 543—547 (англ.)

(44f)

Из калориметрич. определений теплот р-рения MgO , H_2O , $MgCO_3 \cdot 3H_2O$ (I) и $5MgO \cdot 4CO_2 \cdot 5H_2O$ (II) в 4 н. HCl определены энталпии р-ций MgO (тв.) + $+CO_2$ (газ.) + $3H_2O$ (жидк.) = I (тв.) (1) и $5MgO$ (тв.) + $+4CO_2$ (газ.) + $5H_2O$ (жидк.) = II (тв.) (2), составившие при $303,15^\circ K$ $-29\ 856 \pm 40$ и $-120\ 530 \pm 120$ кал соотв. С использованием лит. данных рассчитаны энталпии р-ций (1) и (2) при $298,15^\circ K$: $-29\ 780 \pm 40$ и $-120\ 310 \pm 120$ кал соотв., энталпии образования I и II из элементов $\Delta H^{\circ}_{298} = -472\ 576 \pm 110$ и $-1\ 557\ 090 \pm 250$ кал/моль и свободные энергии образования I и II из элементов $\Delta G^{\circ}_{298} = -412\ 040 \pm 120$ и $-1\ 401\ 710 \pm 260$ кал/моль. Результаты сравнены с данными определений р-римости I и II в воде.

А. Гузей

3. 1974

№ 7

Б99 — А/4462

MgCO₃ · 3 H₂O; (4Hf); BPP X-4462, 1973

129889g Enthalpies of formation of nesquehonite, MgCO₃ · 3H₂O, and hydromagnesite, 5MgO · 4CO₂ · 5H₂O. Robie, Richard A.; Hemingway, Bruce S. (U.S. Geol. Surv., Silver Spring, Md.). *J. Res. U.S. Geol. Surv.* 1973, 1(5), 543-7 (Eng). By combining the enthalpy data obtained by HCl soln. calorimetry with the previous (R. and H., 1972) heat capacity data, the std. enthalpies ($-\Delta H_f^\circ$, in cal/mole) and Gibbs free energies ($-\Delta G_f^\circ$, in cal/mole) of formation at 298.15°K, resp., obtained are: MgCO₃ · 3H₂O, 472,576 ± 110, 412,040 ± 120; 5MgO · 4CO₂ · 5H₂O, 1,557,090 ± 250, 1,401,710 ± 250.



(46f)

CA 1973

79, 22

+1

X

1974

MgCO₃; CaCO₃

82987m Thermodynamic properties of the ion pairs in magnesium carbonate and calcium carbonate from 10 to 50°. Reardon, Eric J.; Langmuir, Donald (Dep. Geosci., Pennsylvania State Univ., University Park, Pa.). Amer. J. Sci. 1974, 274(6), 599-612 (Eng). Potentiometric measurements in MgCl₂-K₂CO₃ and CaCl₂-K₂CO₃ solns. near 10, 25, 40, and 50°C yield dissociation pK values for the ion pairs MgCO₃ and CaCO₃ of 2.88 ± 0.05 and 3.15 ± 0.08 , resp., at 25°C. Recomputation of pK(MgCO₃), using data measured by R. M. Garrels, M. E. Thompson, and R. Siever (1961), gives values in essential agreement with this study at 25°C, but 0.55 pK units less than reported previously. Equations that fit the exptl. data as a function of temp. (T in °K) are $pK(\text{MgCO}_3) = -21.39 + (3265/T) + 0.4467T$ and $pK(\text{CaCO}_3) = -27.393 + (4114/T) + 0.05617T$. Derived enthalpies of dissociation are -3230 ± 600 cal/mole for MgCO₃ and -4025 ± 800 cal/mole for CaCO₃ at 25°C.

*K_p, ΔH
greenay*

(+)

C.A. 1974. 81. N14

IX-5003

1975

$MgHCO_3^+$; $MgCO_3$ (Δp , ΔH , ΔS)

Patel R.C., Garland F., Atkinson C.

J. Solut. Chem., 1975, 4, N^o 1, 161-174

B, ll

MgCO₃, BP-IX-5007 1975

MgCO₃ · xH₂O, 137904f Stability of natural carbonates. New values for the free energies of formation of phases in the magnesium oxide-carbon dioxide-water and calcium oxide-magnesium oxide-carbon dioxide-water systems. Schott, Jacques; Dandurand, Jean L. (Lab. Mineral. Cristallogr., Univ. Paul Sabatier, Toulouse, Fr.). *C. R. Hebd. Séances Acad. Sci., Ser. C* 1975, 280(20), 1247-50 (Fr). The free energies of formation (298.15°K) calcd. are: nesquehonite (MgCO₃ · 3 H₂O), -412.79 ± 0.37 kcal; lansfordite (MgCO₃ · 5 H₂O), -526.22 ± 0.45 kcal; magnesite (MgCO₃), -242.00 ± 0.45 kcal; hydromagnesite (4 MgCO₃, Mg(OH)₂ · 4 H₂O), -1,339.4 ± 2.2 kcal; artinite (MgCO₃, Mg(OH)₂ · 3 · H₂O), -612.7 kcal; dolomite (CaMg(CO₃)₂), -512.51 ± 0.77 kcal; huntite (CaMg₃(CO₃)₄), -997.6 ± 1.9 kcal. Phase diagrams *T* vs. log *P*_{CO₂} and log ⁶⁰Ca/⁶⁰Mg vs. log *P*_{CO₂} are presented and discussed. H. L. Schlichting

△
yf
298

1. A. 1975. 83 n16

MgCO₃

CaCO₃

SrCO₃

BaCO₃

(T_{tr})

Δ (3)

X 1977 N 2

2 Б888. Термическое разложение образцов карбонатов щелочноземельных металлов экстремальной толщины. Гатс., Рокот Гу., Пунгог Е. Thermal decomposition of alkalineearth carbonate samples of extreme thickness. «Thermochim. acta», 1976, 16, № 3, 339—344 (англ.)

Изотермическим и неизотермич. методами изучено разл. карбонатов MCO_3 , где $M=Mg$ (I), Ca (II), Sr (III) и Ba (IV). Применили образцы различной геометрии: 1) природные кристаллы I—IV толщиной в несколько мм, 2) порошкообразные образцы с максим. размером зерен в 45 мкм; 3) тонкие слои ср. толщины 10 нм. Последние получали испарением соотв-щих металлов в токе O_2 и CO_2 (V). Полученные данные рассмотрены с точки зрения равновесия и обратимости р-ций $MCO_3 \rightleftharpoons MO + V$. Приведены зависимости давл.—т-ра для процессов разл. и рекомбинации II—IV. Сделан вывод, что полученные данные не являются равновесными. В связи с этим рассчитаны лишь интервалы изменения энталпий (ккал/моль) р-ций, равные 39—45 для II, 55—60 для III и 60—66 для IV. Показано, что повторение изотермич. р-ций приводит к уменьшению конверсии поглощения V. Для изучения механизма протекающих р-ций применена электронная микроскопия.

Л. Д. Исхакова

1976

MgCO₃ · nH₂O

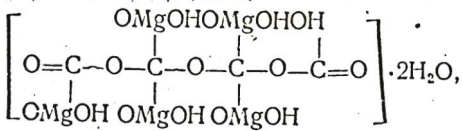
1977

24 Б824 Деп. Структура и термодинамические свойства гидрокарбонатных соединений магния. Беляев Э. К., Самойленко В. И. (Редколлегия «Ж. физ. химии» АН СССР). М., 1977. 12 с., библиогр. 14 назв. (Рукопись деп. в ВИНИТИ 29 авг. 1977 г., № 3524—77 Деп.)

*Структура
и термодинамика
св-ва*

Методом ИК-спектроскопии установлено, что для всех гидрокарбонатов магния характерно наличие след. групп: CO₃²⁻ (415, 425, 595, 800, 860, 890 и 1120 см⁻¹), HCO₃⁻ (1440, 1500, 1570 и 1680 см⁻¹) и OH⁻ (3470, 3540 и 3660 см⁻¹). Структурная ф-ла MgCO₃·5H₂O м. б. представлена в виде [MgCO₃·Mg(OH)₂·4H₂O или [H—O—Mg—O—C(=O)—O—H]·4H₂O. Структурная ф-ла основного карбоната магния [4MgCO₃·Mg(OH)₂·4H₂O] в соответствии с полученным в настоящей работе ИК-спектром должна быть представлена в виде:

X. 1977 N 24



$\text{MgCO}_3 \cdot 3\text{H}_2\text{O} = [\text{Mg}(\text{HCO}_3)(\text{OH})] \cdot 2\text{H}_2\text{O}$, $\text{MgCO}_3 \cdot 2\text{H}_2\text{O} = [\text{Mg}(\text{HCO}_3)(\text{OH})] \cdot \text{H}_2\text{O}$, $\text{MgCO}_3 \cdot \text{H}_2\text{O} = [\text{Mg}(\text{HCO}_3)(\text{OH})]$. На примере тригидрокарбоната и основного

карбоната магния показана хорошая сходимость эксперим. и рассчитанных по методу средней энергии связи для предложенных структурных ф-л значений $\Delta H^\circ_{(обр, 298)}$. Рассчитаны теплоты образования соединений: $\text{MgCO}_3 \cdot 5\text{H}_2\text{O}$, $\text{MgCO}_3 \cdot 2\text{H}_2\text{O}$ и $\text{MgCO}_3 \cdot \text{H}_2\text{O}$ соотв. —617,6; —400,1; —324,4 ккал/моль.. Автореферат



146860 Термосемкость гиббсита $\text{Al}(\text{OH})_3$ между 13 и 197
480 К и магнезита MgCO_3 между 13 и 380
Стандартные энтропии при 298,15 К, теплоемкости и
иметрически стандартизованной бензойной кислоты

между 12 и 316 К. Hemingway Bruce S., Robie Richard A., Fisher James R., Wilson William H. Heat capacities of gibbsite, $\text{Al}(\text{OH})_3$, between 13 and 480 K and magnesite, MgCO_3 , between 13 and 380 K and their standard entropies at 298,15 K, and the heat capacities of calorimetry conference benzoic acid between 12 and 316 K. «J. Res. U. S. Geol. Surv.», 1977, 5, № 6, 797—806 (англ.)

Теплоемкость гиббсита (I) и магнезита (II) измерена в интервале 13—380 К в адиабатич. калориметре и I в интервале 340—480 К в дифференциальном сканирующем калориметре. В изученных т-рных интервалах с шагом $5-10^\circ$ табулированы функции C_p , $S^\circ_T - S^\circ_0$, $(H^\circ_T - H^\circ_0)/T$ и $-(G^\circ_T - H^\circ_0)/T$ дж/моль·град. при 298,15 К они составили соотв.: I 91,70, $68,44 \pm 0,14$, 41,78 и 26,67, II 76,09, $65,09 \pm 0,13$, 39,01 и 26,08. Обсуждается погрешность полученных результатов и их согласование с лит. данными. Вновь измерена теплоемкость бензойной к-ты. Эксперим. результаты представлены в табл. и на графике.

А. Б. Кисилевский

MgCO_3
№ 295373
данные № 4129
(Cp)



2, 1978, N14

$Mg(HCO_3)_2$
 $MgCO_3$

отмак 5881

1974

⑦ 3 В26. Комплексообразование в тройной системе двухвалентный магний — CO_2 — H_2O . Riesen Walter, Gamsjäger Heinz, Schindler Paul W. Complex formation in the ternary system $Mg(II)$ — CO_2 — H_2O . «Geochim. et cosmochim. acta», 1977, 41, № 9, 1193—1200 (англ.)

Методом рН-метрич. Тт исследована система Mg^{2+} — CO_2 — H_2O (I) при 25 и 50° в води. р-рах с постоянной ионной силой (μ) (3M NaCl). Установлено, что в системе I имеют место равновесия: $Mg^{2+} + CO_2$ (г) + $+ H_2O \rightleftharpoons MgHCO_3^+$ (I) + H^+ (2); $Mg^{2+} + 2CO_2$ (г) + $+ 2H_2O \rightleftharpoons Mg(HCO_3)_2$ (II) + $2H^+$ (3); $Mg^{2+} + CO_2$ (г) + $+ H_2O \rightleftharpoons MgCO_3 + 2H^+$ (4). Определены суммарные константы ($\lg K$) равновесий 2—4, равные при 25 и 50° соотв. $-7,64 \pm 0,01$ и $-7,46 \pm 0,01$; $-15,00 \pm 0,14$ и

($\lg K$)

X. 1978 N3

$-15,37 \pm 0,39$; $-15,64 \pm 0,06$ и $-15,23 \pm 0,02$. Рассчитаны термодинамич. параметры ΔH (кдж/моль) и ΔS (дж/град·моль), равные для 2—4 соотв. $13,6 \pm 1,5$ и -101 ± 6 ; -27 ± 31 и -378 ± 104 ; $30,1 \pm 4,7$ и -198 ± 16 . Определена величина ΔG° (для $\mu=0$) для р-ции $MgCO_3 + CO_2 (г) + H_2O = Mg(HCO_3)_2$, равная $-3,9 \pm 0,8$ и $0,6 \pm 2,4$ кдж/моль при 25 и 50° соотв. Сделан вывод, что I является основным карбонатным соединением Mg^{2+} в грунтовых водах ($pH \sim 7$) и поверхн. водах ($pH \sim 8$), а относит. содержание II незначительное.

Н. И. Снежко

MgCO₃

1977

86: 195924k The stability of the magnesium carbonate ion pair from 10° to 90°C. Siebert, R. M.; Hostetler, P. B. (Dep. Geol., Univ. Missouri, Columbia, Mo.), Am. J. Sci. 1977, 277(6), 716-34 (Eng). The dissoen. consts. of the aq. MgCO₃^a ion pair were detd. from 10 to 90° at 15° intervals. Abs. pH measurements in MgCl₂-KHCO₃ solns. being titrated with K₂CO₃ were used to calc. the results. The exptl. pK_{MgCO₃^a} (-log K_{assocation}) at 25° is 2.98 ± 0.067 at 90°. The temp. variation is in excellent agreement with that predicted by electrostatic ion pair theory. The derived values of ΔG_{R°}, ΔH_{R°}, and ΔS_{R°} of dissoen. at 25° are 17050 ± 125 J mol⁻¹ (4075 ± 30 cal mol⁻¹, -8439 J mol⁻¹ (-2017 cal mol⁻¹), and -85.48 J K⁻¹ (-20.43 cal K⁻¹ mol⁻¹), resp.

K' quecosy

c. a. 1977. 86 126

MgCO₃

1977

02 Б1385. Устойчивость ионной пары карбоната магния от 10 до 90° С. Siebert R. M., Hostettler P. B. The stability of the magnesium carbonate ion pair from 10° to 90° C. «Amer. J. Sci.», 1977, 277, № 6, 716—734 (англ.)

Определены константы диссоциации ионной пары MgCO_3^{\cdot} в воде в области т-р 10—90° с интервалом 15°. Для расчета использовали абр. значения рН, полученные титрованием р-ров MgCl_2 — KHCO_3 р-ром K_2CO_3 . При 25° $pK_{\text{MgCO}_3^{\cdot}}$ равно $2,98 \pm 0,03$, а с повышением т-ры до 90° значение pK плавно увеличивается до $3,41 \pm 0,067$. Т-рная зависимость pK хорошо согласуется с расчетами по электростатич. теории ионных пар. Рассчитаны термодинамич. параметры диссоциации ΔG_R^0 , ΔH_R^0 и ΔS_R при 25° соотв. равны 1705 ± 125 дж/моль (4075 ± 30 кал/моль), -8439 дж/моль (-2017 кал/моль) и $-85,48$ дж/град·моль ($-20,43$ кал/град·моль). Резюме

*Kc 16 д 4
1 45*

02 Б1385

дек 1978 № 2

MgCO₃ · n H₂O

1978

90: 62102b Structure and thermodynamic properties of magnesium carbonate hydrate compounds. Belyaev, E. K.; Samoilenko, V. I. (Gos. Nauchno-Issled. Proektn. Inst. Osnovn. Khim., Kharkov, USSR). *Zh. Fiz. Khim.* 1978, 52(10), 2709 (Russ.). The structural formulas of $MgCO_3 \cdot nH_2O$ ($n = 1-5$) were detd. from data obtained by the IR spectroscopy. The av. band energy values were used to calc. the heats of formation of 298 K of the penta-, di-, and monohydrate: -617.6, -400.1, and -324.4 kcal/mol, resp.

(414)

CA 1979 00 182

1979

19 Б937. Процессы карбонизации, гидратации и плавления в системе $MgO-H_2O-CO_2$ при давлениях до 100 кбар. Ellis David E., Wyllie Peter J. Carbonation, hydration, and melting relations in the system $MgO-H_2O-CO_2$ at pressures up to 100 kbar. «Amer. Miner.», 1979, 64, № 1—2, 32—40 (англ.)

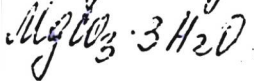
В системе $MgO-H_2O-CO_2$ при давл. до 100 кбар и т-ре до 2000° в субсолидусной области наблюдается три типа процессов — гидратация, карбонизация и обмен CO_2 и H_2O . С помощью эксперим. данных, полученных при высоких и низких давл., для субсолидусных р-ций $Mg(OH)_2 \rightarrow MgO + H_2O$, $MgCO_3 \rightarrow MgO + CO_2$ и $MgCO_3 + H_2O \rightarrow Mg(OH)_2 + CO_2$ оценены величины ΔH° и ΔS° , составляющие соотв., 18,4 ккал/моль и 33,16 э. с., 20,14 ккал/моль и 34,87 э. е. 1,74 ккал/моль и 1,71 э. е. Найдено, что $MgCO_3$ плавится в инвариантной точке, расположенной при 23 кбар и 1550° , а $Mg(OH)_2$ плавится в инвариантной точке — 58 кбар и 1310° . Система $Mg(OH)_2 + MgCO_3 +$ + пар подвергается эвтектич. плавлению при давл. выше 46 кбар и т-ре 1210° . В состав эвтектич. расплава входит 73% мол. $Mg(OH)_2$ и 27% мол. $MgCO_3$.

Б. Г. Каахан

$MgCO_3$
 $Mg(OH)_2$
 (T_m) ↗
 ④ ⊕
 3.1649, N49



1979



ЗБ889. Термическое разложение основных карбонатов магния в газовой среде при высоком давлении.
Sawada Yutaka, Yamaguchi Junji, Sakurai Osamu, Uematsu Keizo, Mizutani Nobuyasu, Kato Masanori. Thermal decomposition of basic magnesium carbonates under high-pressure gas atmospheres. «Thermochim. acta», 1979, 32, № 1—2, 277—291 (англ.)

(Tibx, AH, AS)

2-168015

С помощью ДТА изучено термич. разл. карбонатов магния: $4\text{MgCO}_3 \cdot \text{Mg}(\text{OH})_2 \cdot 4\text{H}_2\text{O}$ (I) и $\text{MgCO}_3 \cdot 3\text{H}_2\text{O}$ (II). Состав исходных и полученных фаз определяли с помощью дифрактометрии, хим. анализа, ИК-спектроскопии и электронной микроскопии. Изучено термич. разл. I и II зависимости от газовой среды (CO_2 , Ar или N_2) и давл. газа (до <50 кг/см³). Установлено значит. влияние на процесс термич. разл. I и II парц. давл. CO_2 . При высоких давл. CO_2 в кач-ве продуктов разл. образуются гидромагнезит, аморф. де-гидратированный карбонат, MgCO_3 и MgO . Рассчитаны ΔH и ΔS для процесса разл. I и II, равные 50,85 и 57,14 ккал/моль; 60,13 и 66,26 кал/моль·град соотв. Увеличение пика ДТА при давл. <10 кг/см² в среде аргона или азота и насыщение при высоких давл. объясняется присутствием CO_2 , самогенерирующегося при термич. разл. I и II.

Л. Г. Титов

Ulg CO₃

1981

Byrnes A.P. et al.

(Tm)
gazobas
guarapameia

Geochim. et cosmochim
acta, 1981, 45, N3,
321-328.

(cav. CaCO₃; I).

MgCO₃

1981

*Кристал-
структур*

47

(45)

23 Б510. Уточнение кристаллической структур магнезита, кальцита, родохрозита, сидерита, смитсонита и доломита с обсуждением некоторых аспектов стереохимии карбонатов типа кальцита. Effenberger H., Mereiter K., Zemann J. Crystal structure refinements of magnesite, calcite, rhodochrosite, siderite, smithonite, and dolomite, with discussion of some aspects of the stereochemistry of calcite type carbonates. «Z. Kristallogr.», 1981, 156, № 3—4, 233—243 (англ.)

Рентгенографически (дифрактометр, λ Mo, поправки на фактор Лоренца и поляризацию, поглощение и изотропную экстинкцию, МНК в анизотропном приближении, $R=0,013-0,022$ по 250—600 отражениям) уточнена структура MgCO₃, CaCO₃, MnCO₃, FeCO₃, ZnCO₃ и MgCa(CO₃)₂ на сферич. образцах природных минералов диам. 0,23—0,2 мм. Периоды решетки определены с точностью $2-20 \cdot 10^{-4}$ Å, кислородный параметр — с точностью $7-11 \cdot 10^{-5}$. Изменение длины связи C—O

X.1981, 19, № 23.

$\leq 0,003$ Å. Анизотропные тепловые факторы кальцита существенно больше, чем у др. минералов. Во всех соединениях октаэдры M_6 удлинены в направлении оси [000.1], причем искажение октаэдра не есть монотонная функция расстояния $M-O$. Подтверждены слабая пирамидальность карбонатной группы и удлинение связи $Ca-O$ в доломите по сравнению с кальцитом и укорочение связи $Mg-O$ по сравнению с магнезитом. В карбонатах наблюдается миним. расстояние $O-O$ в 2,85 Å. Радиусы в приближении 4 разных точечных зарядов в группе $(CO_3)^{2-}$ дают для кальцита хорошее согласие с экспериментом при использовании заряда +1 для С и -1 для О. С. Ш. Шильштейн.

под.
бсг

MgCO₃ (a)

1982

Fedogar Yurus,
Civelekoglu Halidun,
et al.

AgG; Chim. acta turc.,
1982, 10, N3, 275-286.

(ex. BaSO₄(k); i)

1982

$MgCO_3 \cdot 5H_2O$

10 Б468. Новые данные для лансфордита. New data for lansfordite. Hill R. J., Canterford J. H., Molyne F. J. «Miner. Mag.», 1982, 46, № 341, 453—457 (англ.)

С целью получения детальных характеристик метастабильного минерала лансфордита $MgCO_3 \cdot 5H_2O$ (I), встречающегося в природе только в плохоокристаллизованном состоянии и быстро обезвоживающегося даже в обычных условиях до нескехонита $MgCO_3 \cdot 3H_2O$, пред-

параллельно
решетки

принят синтез I (путем кристаллизации из водн. р-ров $Mg(HCO_3)_2$ при т-рах ниже 10°. Проведено рентгенографич. (методы прецессии, Вейсенберга, и порошка, дифрактометр), термич. (ДТА, ТГА) и ИКС исследование синтетич. кристаллов I. Параметры монокл. решетки: $a = 12,4758 \text{ \AA}$, $b = 7,6258$, $c = 7,3463$, $\beta = 101,762^\circ$, ρ (изм.) 1,70, ρ (выч.) 1,693, $Z = 4$, ф. гр. $P2_1/a$. По данным ДТА и ТГА полный выход молекул H_2O из структуры происходит до 120°. Данна детальная расшифровка спектров ИК, свидетельствующих о наличии в структуре 3 различных групп CO_3 . Приведены значения I , $d(hkl)$ рентгенограммы порошка I и фазовая диаграмма системы $MgO-CO_2-H_2O$.

С. В. Соболева

ж. 1983, 19,
N 10

MgCl₃(K₂CrO₄)

1982

Robinson G.R., et al.
U.S. Dep. Interior Geolog.
Survey, OPEN-File Report

200-1800L 83-79, 1982, p.230.

М.Ф.

отчеты Ю.А.Хогаковского

236

MgCO₃ (к)

kp

от 18508

1982

9 Б809. Обратимость термической диссоциации карбоната магния в закрытой системе. Зельманович Я. И., Резницкий Л. А. «Изв. АН СССР. Неорган. материалы», 1982, 18, № 12, 2023—2025

Методом дифференциальной сканирующей калориметрии исследована обратимость термич. диссоциации карбоната магния в эвакуированной запаянной ампуле в многократно повторяющихся циклах «нагрев — охлаждение». Установлено, что тепловые эффекты р-ций дегидратации и диссоциации уменьшаются с ростом времени выдержки выше т-ры диссоциации. Уменьшение теплопоглощения объяснено рекристаллизацией образующейся «активной» окиси магния при высоких т-рах. По всей видимости, р-ции разложения солей кислородсодержащих к-т могут протекать через стадию образования метастабильных форм оксидов металлов, что может ограничить поиск теплоаккумулирующих в-в в этом направлении.

Автореферат

X. 1983, 19, № 9

*от. в коробке
у бершана ГА*

MgCO₃

1983

102: 85231y Critical study of the determination of the heat of thermal decomposition of solids from initial reaction temperatures. Criado, J. M.; Gonzalez, M. (Fac. Quim., Univ. Sevilla, Sevilla, Spain). *An. Quim., Ser. B* 1983, 79(2), 293-6 (Span). For a reaction of the type A(s) → B(s) + C(g), the reaction enthalpy cannot be calcd. by correlating T_i (starting temp of the reaction) and P_c (pressure of the gas) by the Clausius-Clapeyron equation. The therm. dn. parameters H° and S° are calcd. for the thermal decompn. of MgCO₃, CaCO₃, MnCO₃ and CdCO₃ and compared with the theor. values.

M. Wiedemann

(S_rH, S_rS)

③ ④

C.A 1985, 102, N10.

Карбонаты №

1983

20 Б3143. Фазовые превращения в карбонатах Mg, Ca, Sr и Ba при давлениях до 160 кбар. Логвинов В. М., Дорошев А. М. «Силикат. системы при высок. давлениях». Новосибирск, 1983, 47—56

На аппарате высокого давл. «разрезной куб» исследована верхняя по давлению граница поля устойчивости доломита. Линия р-ции доломит-арagonит+магнезит имеет ур-ние: P (кбар) = $40 + 0,022 T$ ($^{\circ}\text{C}$). Ассоциация арагонит+магнезит устойчива до давл. 160 кбар. Установлено, что при давл. > 130 кбар стронцианит переходит в новую модификацию. Судя по полученным результатам, витерит и стронцианит при высоких давл. образуют структурно-подобные фазы.

Автореферат

Тетр

(73) № Карбонаты Ca

X. 1984, 19, № 20 — Sr
— Ba

Карбонаты Mg

1983

9 Е531. Фазовые превращения в карбонатах Mg, Ca, Sr и Ba при давлениях до 160 кбар. Логвинов В. М., Дорошев А. М. «Силикат. системы при высок. давлениях». Новосибирск, 1983, 47—56

На аппарате высокого давления «разрезной куб» исследована верхняя по давлению граница поля устойчивости доломита. Ассоциация арагонит+магнезит устойчива до давлений 160 кбар. Установлено, что при давлении выше 130 кбар стронцианит переходит в новую модификацию. Судя по полученным результатам, витерит и стронцианит при высоких давлениях образуют структурноподобные фазы.

Резюме

(73)

φ. 1984, 18, № 9

Карбонаты Ca
— — — Sr
— — — Ba

$MgCO_3$
 $MgCa(CO_3)_2$

1983

13 Б3090. Магнезиальные кальциты: низкотемпературные месторождения, растворимость и поведение в твердых растворах. Magnesian calcites: low-temperature occurrence, solubility and solid-solution behavior. Mackenzie Fred T., Bischoff William D., Bishop Finley C., Loijens Michele, Schoonmaker Jane, Wollast Roland. «Rev. Miner.», 1983, 11, 97—114 (англ.)

Обзор. Рассмотрены термодинамич., хим., геологич. условия образования Mg-кальцитов (I) при низких т-рах, как следствия процессов в биогеохимии. Содержание $MgCO_3$ (II) в скелетах морских организмов достигает 12—17 мол.% и неодинаково для разных видов. В области конц-ий 2—10 мол.% II существует «провал» в природных месторождениях I. Установлено снижение содержания II в скелетных кальцитах организмов полярной зоны по сравнению с тропиками. На основании обработки лит. данных по рентгенографич. и ИК-спект-

X. 1984, 19, n13

троскопич. исследованию I установлено присутствие OH-групп в I. Это указывает на необходимость учета в термодинамич. расчетах фаз, содержащих воду, т. е. гидромагнезита $Mg_5(OH)_2(CO_3)_4 \cdot 4H_2O$, артинита $Mg_2(OH)_2CO_3 \cdot 3H_2O$ и брусита $Mg(OH)_2$, как неизбежных примесей в I орг. происхождения, т. е. рассмотрения тройной системы $MgCO_3$ — $CaCO_3$ — H_2O . Сделано заключение о линейной зависимости между положением линии 1014 в рентгеновском спектре I и содержанием в них II в интервале 0—18 мол.% II. Отмечено значение кристаллохим. исследований I для уяснения физ.-хим. и биол. факторов их образования, особенно при низких т-рах 25—100° С. Установлено увеличение параметра решетки I орг. происхождения по сравнению с искусств. тв. р-рами $MgCO_3$ — $CaCO_3$, что вызывается присутствием следовых кол-в тяжелых элементов, напр., Sr и наличием H_2O в частично гидратированных образцах.

Л. А. Резницкий

MgCO₃

1985

Markgraf S. A.,
Reeder R. J.

empesk-
mupa

Amer. Miner., 1985,
70, NS-6, 590-600.

(ass. CaCO₃; ?)

MgCO₃

1991

115: 288240s The thermal decomposition of magnesite in nitrogen. Hurst, H. J. (Lucas Heights Res. Lab., CSIRO, Menai, 2234 Australia). *Thermochim. Acta* 1991, 189(1), 91-6 (Eng). Numerical predictor-corrector anal. of non-isothermal TG curves with heating rates of 3, 10 and 30° min⁻¹ were made for different models for the decomprn. of magnesite in nitrogen. A contracting vol. (R3) model was found to give the best fit, and the values of the kinetic parameters were refined by non-linear least-squares methods using a minicomputer. Res. values of the activation energy of 170, 174 and 174 kJ mol⁻¹, and of the pre-exponential const. of 4.2×10^{11} , 6.7×10^{11} and 7.8×10^{11} min⁻¹, were found for heating rates of 3, 10 and 30° min⁻¹. The R3 model was also found to fit best the isothermal measurements of the decomprn. of two particle sizes of magnesite in nitrogen at 500-650°. The reaction rates were fitted to the Arrhenius equation, and gave 161 kJ mol⁻¹ for the activation energy and 2.9×10^8 min⁻¹ for the pre-exponential const. The good agreement between the results from the two exptl. methods confirms that sensible values of the activation energies can be obtained from non-isothermal TG measurements.

MeßMerkel
Papiermuster

C.A. 1991, 115, N 26

MgCO₃

1991

Kр

9 Б3063. Термическое разложение магнезита [в токе] азота. The thermal decomposition of magnesite in nitrogen / Hurst H. J. // Thermochim. Acta.— 1991.— 189, № 1.— С. 91—96.— Англ.

Методами ТГА, ДТА исследовано термич. разл. магнезита (I) в токе азота. Получено хорошее совпадение эксперим. и расчетных ТГ и ДТА кривых при описании процесса разл. I моделью «сжимающейся сферы». Для скоростей нагрева 3, 10 и 30° С/мин значения энергии активации составили 170, 174, 174 кДж/моль и предэкспоненциального множителя $4,2 \cdot 10^{11}$, $6,7 \cdot 10^{11}$, $7,8 \cdot 10^{11}$ соотв. В случае изотермич. метода исследования разл. I в азоте модель «сжимающейся сферы» также дает хорошее совпадение с экспериментом. Вычисленные значения энергии активации и предэкспоненциального множителя составили 161 кДж/моль и $2,9 \cdot 10^8$ мин⁻¹ соотв. С уменьшением размера частиц I в изотермич. эксперименте кинетич. параметры р-ции разл. I уменьшаются.

В. А. Коржов

X. 1992, № 9

MgCO₃

1991

№ 11 Б3041. Влияние технологических переменных на кривые ТГА, ДТГ и ДТА магнезита и доломита. The effect of procedural variables on TG, DTG and DTA curves of magnesite and dolomite / Sharp J. H., Wilburn F. W., McIntosh R. M. // J. Therm. Anal.— 1991. — 37, № 9.— С. 2021—2029.— Англ.; рез. нем.

Исследовано влияние нек-рых параметров (масса образца, парц. давл. CO₂, влажность атмосферы, скорость нагрева и присутствие инертного разбавителя) на кривые ТГА и ДТА, полученные при разл. магнезита и доломита. Найдено, что влияние этих параметров на кривые ТГА и ДТА такое же, как и в случае разл. кальцита (см. пред. реф.), хотя этот эффект в случае магнезита несколько слабее. На 1-й стадии разл. доломита влияние рабочих параметров на кривые ТГА и ДТА аномально и существенно отличается от эффекта, наблюдавшегося в случае разл. кальцита и магнезита. Однако на 2-й стадии разл. влияние рабочих парамет-

(kp)

X.1992, N 11

ров на кривые ТГА и ДТА примерно такое же, как в случае образца кальцита, разбавленного магнезией. Инертный разбавитель слабо влияет на т. разл. Во влажной атмосфере разл. магнезита наблюдалось при более низкой т-ре, в то время как разл. доломита наблюдалось при более высокой температуре.

В. Ф. Байбуз

Карбонаты Mg 1993

Hartmann Miloslav,
Trnka Otakar, et al.

(Kp, s H) Collect. Českoslov. chem.
Commun. 1993. 58, N 8. C
1885-1890.

(см. Тугородки Mg; I,

Mg CO₃

1994

Narotsky A., Rapp R.P.,
et al.,

Amer. Miner. - 1994, 79, N11-12,
c. 1099-1109

SH
Появление H₂O и CO₂ при изучении
различающихся по возрасту
флюктуационных  зон калориметрических
п.д.х. N17, 1995, 17536

MULL-

$MgCO_3$

1996

Abousehly A. M.,
Ibrahim M.M. et al.

(C) High Temp-High Pressure
res 1995 (Pub. 1996), 27/28,
(1), 41-45.

(c.e.e. Li_2CO_3 ; ?)

MgCO₃

F: CaCO₃-MgCO₃ (T_{tr})
P: 1

2003

04.22-19Б3.40. Расчеты на основе первых принципов субсолидусных фазовых диаграмм систем CaCO₃-MgCO₃ и CdCO₃-MgCO₃. First-principles-based calculations of the CaCO₃-MgCO₃ and CdCO₃-MgCO₃ subsolidus phase diagrams / Burton B. P., Van de Walle A. // Phys. and Chem. Miner. - 2003 30, N 2. - С. 88-97. - Англ.

На основе первых принципов рассчитаны фазовые диаграммы

систем CaCO₃-Mg и CdCO₃-MgCO₃. Рассчитанные фазовые диаграммы находятся в качественно полуколичественного согласии с экспериментом. Предсказаны две ненаблюдавш фазы Cd₃Mg(CO₃)₄ и CdMg₃(CO₃)₄. Не предсказано новых фаз в си CaCO₃-MgCO₃, но предсказано низколежащее метастабильное состояние Ca₃Mg(CO₃)₄, аналогичное фазе Cd₃Mg(CO₃)₄. Все предсказанные низколежащие метастабильные состояния за исключением гунтита CaMg₃(CO₃)₄ имеют структуры, родственные структуре доломита, т.е. они являются слоист структурами.